

INSTITUTO TECNOLÓGICO Y DE ESTUDIOS SUPERIORES DE
OCCIDENTE

TRANSPORTE ELECTRÓNICO EN NANOESTRUCTURAS
PRIMAVERA 2019



ITESO, Universidad
Jesuita de Guadalajara

POTENCIAL PERIÓDICO DE DELTAS DE DIRAC
GRÁFICAS DE BANDAS PARA ENERGÍAS

CHIÑAS FUENTES KARINA

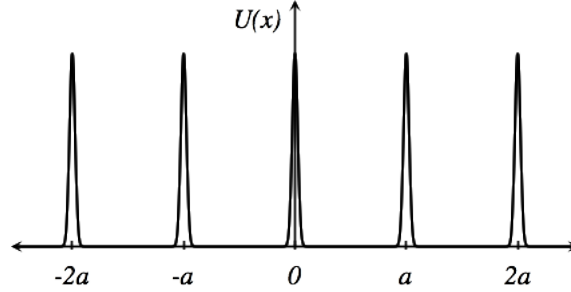
NT704804

PROFESOR: GUSTAVO MONTES CABRERA

TLAQUEPAQUE, JALISCO
VIERNES, 29/MARZO/2019

Gráficas de bandas para energías

Se tiene que para un fermión, este caso un electrón, sometido al potencial periódico de la forma



que puede estar representado como,

$$U(x) = \alpha \sum_n^N \delta(x - na), \quad (1)$$

donde N es el número de deltas que contiene el potencial, todas de altura α separadas a una distancia a . Se tiene que la energía va a estar sujeta a el coeficiente de la onda k , definida como

$$k^2 = \frac{1}{\hbar^2} 2mE, \quad (2)$$

siendo m la masa de la partícula y \hbar la constante de Planck dividida entre 2π . Al considerar el **teorema de Floquet**, que establece que una función de onda sometida a un potencial periódico va a caracterizarse por

$$\Psi(x + na) = C^n \Psi(x), \quad (3)$$

donde, por condiciones de normalización, se puede demostrar que

$$C = e^{i\Phi a N}, \quad (4)$$

siendo $\Phi = 2\pi l / Na$, para $l = 0, 1, 2, \dots, N$. Se puede analizar la forma de la función de onda para las regiones $0 \leq x \leq a$ y $-a \leq x \leq 0$, haciendo uso del teorema de Floquet. Al aplicar las debidas condiciones de continuidad para este sistema, se puede llegar a la siguiente relación

$$\cos(\Psi a) = \cos(ka) + \frac{\beta}{ka} \sin(ka), \quad (5)$$

donde,

$$\beta = \frac{1}{\hbar^2} \alpha m a. \quad (6)$$

Es notable que la igualdad de la ec. (5) no va a cumplirse para todo valor de k , por lo que eso nos daría la cuantización de la energía para este sistema. Realicé un programa en python que grafica los valores que hacen posible la igualdad de la ec. (5). A continuación se presenta dicho código.

Author: Karina Chinhas-Fuentes

```
import math
import numpy as np
import matplotlib.pyplot as plt
from numpy import pi, sin, cos, sqrt, exp
from matplotlib.pyplot import savefig
import matplotlib.path_effects as path_effects

alpha = 1
hbar = 1
a = 1.5
m = 1
N = 100
x = 20

beta = m*alpha*a\ (hbar**2)

k = np.linspace(0.001,x,10000)
l = np.arange(N + 1)

ZETA = np.zeros(len(k))

phi = lambda L: 2*pi*L\ (N*a)
eta = lambda L: cos(phi(L)*a)
zeta = lambda K: cos(K*a) + (beta\K*a)*sin(K*a)

bands = np.zeros((N+1,len(k)))

for z in range(len(k)):
    ZETA[z] = zeta(k[z])

for n in range(len(l)):
    for z in range(len(k)):
        if round(ZETA[z],2) >= -1.00 and round(ZETA[z],2) <= 1.00:
            bands[n,z] = eta(l[n])
        else:
            bands[n,z] = None

titulo = "V(x) = $\alpha\sum^N_n\delta(x-na)$ \n N=" + str(N)
sstyle = "seaborn-poster"
plt.style.use(sstyle)
plt.rc('text', usetex = True)
plt.rc('font', family = 'serif')

plt.figure(figsize = (15,10))
plt.plot(k, ZETA, linewidth = 3.5 )
```

```

for n in range(len(l)):
plt.plot(k, bands[n], color = 'k')

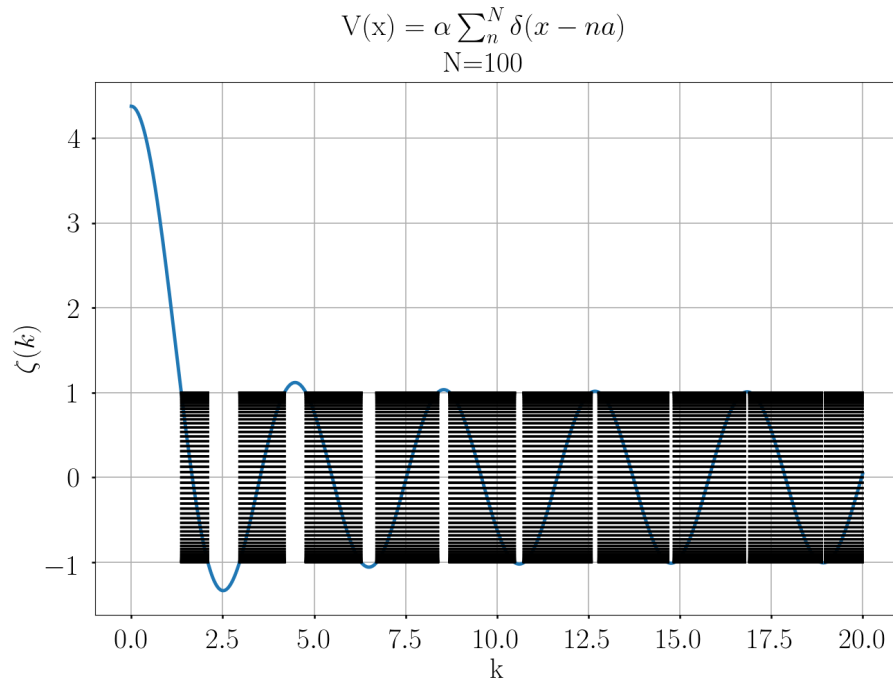
plt.suptitle(titulo, fontsize=30)
plt.ylabel("$\\zeta(k)$")
plt.xlabel("k")
plt.grid()
#plt.savefig( "RT8" + ".png", format = "png")
plt.show()

```

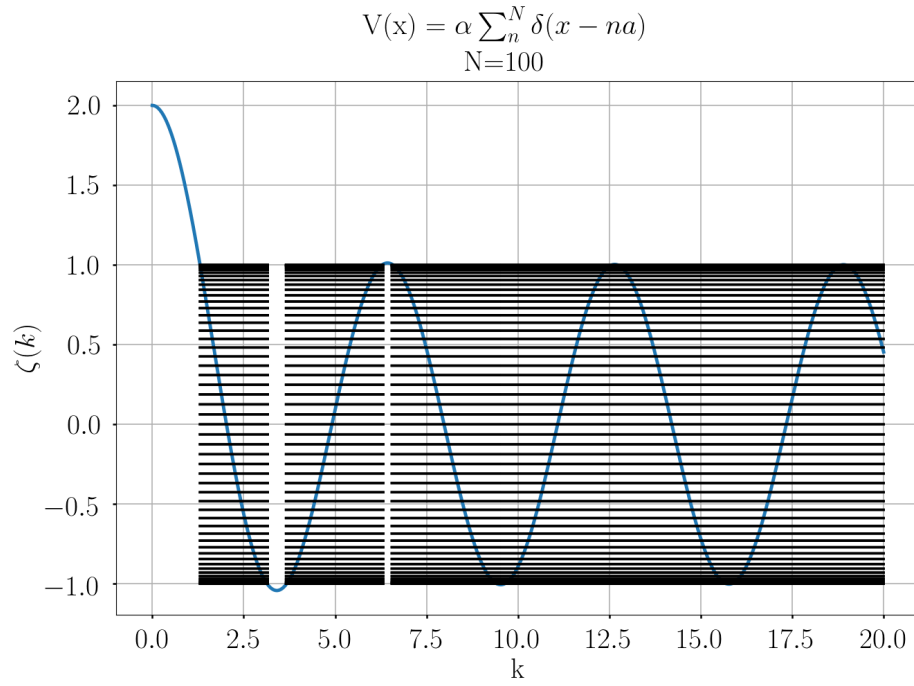
Siendo

$$\zeta(k) = \cos(ka) + \frac{\beta}{ka} \sin(ka), \quad (7)$$

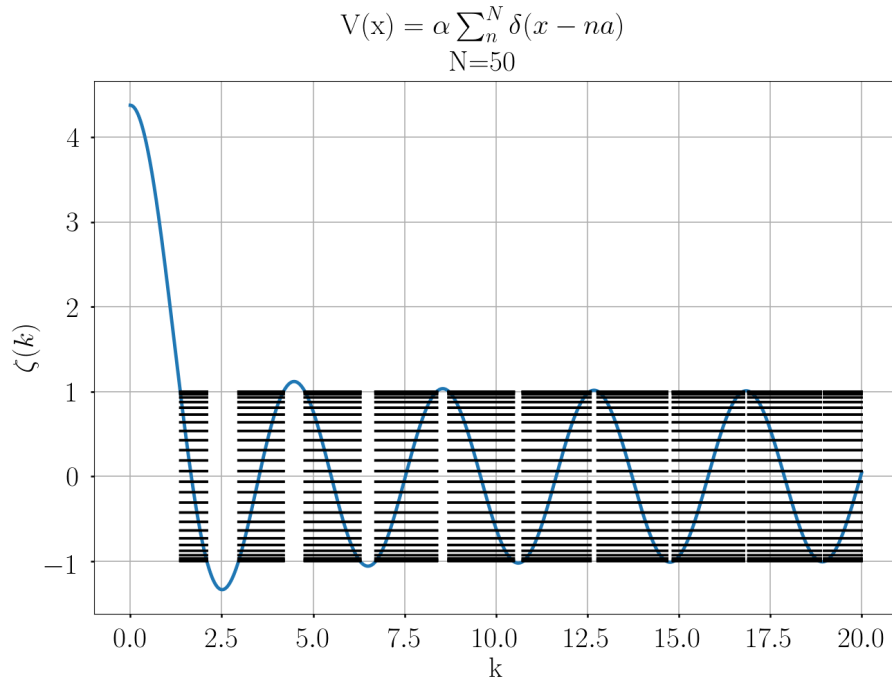
el resultado del código para los parámetros $a = 1.5$ y $N = 100$ es:



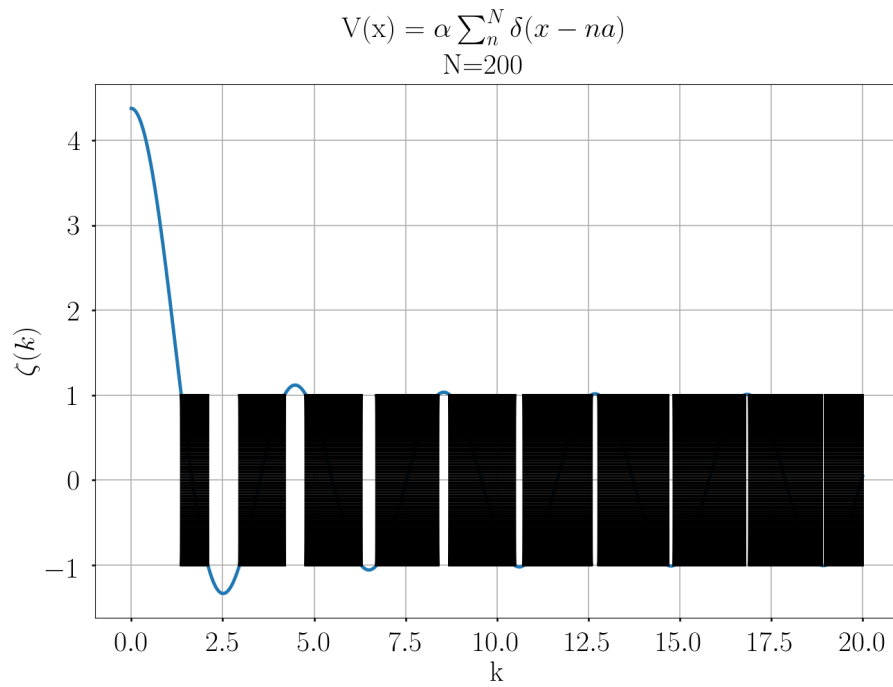
Para una a más chica, es posible notar que la función $\zeta(k)$ converge a 1 y -1 para valores de k más chicos, conservando el mismo numero de deltas de Dirac. El resultado del código para $a = 1$ y $N = 100$ es:



Mientras que para el mismo valor de a pero disminuyendo o decreciendo el valor de N , cambia el número de líneas para las regiones válidas de k . Como se puede ver en las siguientes imágenes, para $N = 50$



y para $N = 200$



Los resultados de las gráficas para determinamos valores que caracterizan al sistema, nos da una idea de los posibles valores cuantizados, o cuasi continuos, de la enería.